## CARATTERISTICHE TERMICHE E IGROMETRICHE DEI COMPONENTI OPACHI secondo UNI TS 11300-1 - UNI EN ISO 6946 - UNI EN ISO 13370

### **Descrizione della struttura: COPERTURA ESTERNA**

Trasmittanza termica **0,191** W/m²K

Spessore **250** mm

Temperatura esterna (calcolo potenza invernale) -8,0 °C

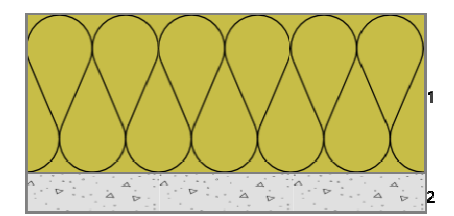
Permeanza **40,000** 10<sup>-12</sup>kg/sm<sup>2</sup>Pa

Massa superficiale (con intonaci) 120 kg/m²

Massa superficiale (senza intonaci) 120 kg/m²

Trasmittanza periodica **0,099** W/m²K

Fattore attenuazione **0,517** - Sfasamento onda termica **-7,7** h



Codice: S1

### Stratigrafia:

N.	Descrizione strato	s	Cond.	R	M.V.	C.T.	R.V.
-	Resistenza superficiale esterna	-		0,071	-	-	-
1	Pannello metallico isolante ed autoportante per copertura MB FIRE-PRO ROOF 200	200,00	0,0400	5,000	100	1,03	1
2	C.l.s. di sabbia e ghiaia (pareti esterne)	50,00	1,2600	0,040	2000	1,00	96
-	Resistenza superficiale interna	-	-	0,130	-	-	-

### Legenda simboli

S	Spessore	mm
Cond.	Conduttività termica, comprensiva di eventuali coefficienti correttivi	W/mK
R	Resistenza termica	m <sup>2</sup> K/W
M.V.	Massa volumica	kg/m³
C.T.	Capacità termica specifica	kJ/kgK
R.V.	Fattore di resistenza alla diffusione del vapore in capo asciutto	-

### CARATTERISTICHE TERMICHE E IGROMETRICHE DEI COMPONENTI OPACHI secondo UNI EN 12831 - UNI EN ISO 6946 - UNI EN ISO 13370

### **Descrizione della struttura:** COPERTURA ESTERNA

Trasmittanza termica **0,192** W/m²K

Spessore 250 mm

Temperatura esterna (calcolo potenza invernale) -8,0 °C

Permeanza **40,000** 10<sup>-12</sup>kg/sm<sup>2</sup>Pa

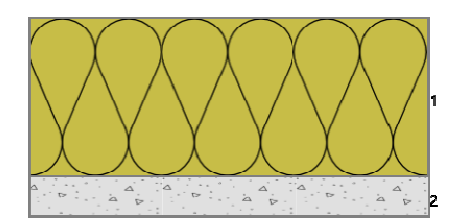
Massa superficiale (con intonaci) 120 kg/m²

Massa superficiale

Massa superficiale (senza intonaci) 120 kg/m²

Trasmittanza periodica **0,099** W/m²K

Fattore attenuazione **0,517** - Sfasamento onda termica **-7,7** h



Codice: 51

### Stratigrafia:

N.	Descrizione strato	s	Cond.	R	M.V.	C.T.	R.V.
-	Resistenza superficiale esterna	-	-	0,040	-	-	-
1	Pannello metallico isolante ed autoportante per copertura MB FIRE-PRO ROOF 200	200,00	0,0400	5,000	100	1,03	1
2	C.l.s. di sabbia e ghiaia (pareti esterne)	50,00	1,2600	0,040	2000	1,00	96
-	Resistenza superficiale interna	-	-	0,130	-	-	-

### Legenda simboli

S	Spessore	mm
Cond.	Conduttività termica, comprensiva di eventuali coefficienti correttivi	W/mK
R	Resistenza termica	m²K/W
M.V.	Massa volumica	kg/m³
C.T.	Capacità termica specifica	kJ/kgK
R.V.	Fattore di resistenza alla diffusione del vapore in capo asciutto	-

## Caratteristiche igrometriche dei componenti opachi secondo UNI EN ISO 13788

<u>Descrizione della struttura</u>: <u>COPERTURA ESTERNA</u>
Codice: <u>S1</u>

- [x] La struttura non è soggetta a fenomeni di condensa superficiale.
- [x] La struttura non è soggetta a fenomeni di condensa interstiziale.
- [] La struttura è soggetta a fenomeni di condensa interstiziale, ma la quantità è rievaporabile durante la stagione estiva.

### Condizioni al contorno

Temperature e umidità relativa esterne variabili, medie mensili

Temperatura interna nel periodo di riscaldamento 20,0 °C

Criterio per l'aumento dell'umidità interna Classe di concentrazione del vapore (0,006 kg/m³)

%

### Verifica criticità di condensa superficiale

 $\mbox{Verifica condensa superficiale } (\mbox{f}_{RSI,max} \leq \mbox{f}_{RSI}) \qquad \qquad \mbox{\textit{Positiva}}$ 

Mese critico novembre Fattore di temperatura del mese critico  $f_{RSI,max}$  0,725 Fattore di temperatura del componente  $f_{RSI}$  0,953 Umidità relativa superficiale accettabile 80

### Verifica del rischio di condensa interstiziale (secondo UNI EN ISO 13788)

Non si verifica formazione di condensa interstiziale nella struttura durante tutto l'arco dell'anno.

# Risultati mensili condensa superficiale ed interstiziale secondo UNI EN ISO 13788

<u>Descrizione della struttura</u>: <u>COPERTURA ESTERNA</u>
Codice: <u>S1</u>

#### RISULTATI VERIFICA DELLA CONDENSA SUPERFICIALE

Mese	θ <sub>int</sub> [°C]	θ <sub>est</sub> [°C]	P <sub>int</sub> [Pa]	P <sub>est</sub> [Pa]	θ <sub>acc</sub> [°C]	P <sub>acc</sub> [Pa]	f <sub>RSI</sub> [-]
ottobre	20,0	12,3	1548	1174	17,0	1935	0,608
novembre	20,0	6,8	1489	920	16,4	1861	0,725
dicembre	20,0	2,6	1368	651	15,1	1710	0,716
gennaio	20,0	1,2	1323	<i>555</i>	14,5	1653	0,709
febbraio	20,0	3,1	1315	615	14,4	1643	0,671
marzo	20,0	8,3	1399	884	15,4	1749	0,607
aprile	20,0	11,9	1317	930	14,5	1646	0,316

#### Legenda simboli

 $\begin{array}{ll} \theta_{int} & Temperatura \ dell'ambiente \ interno \\ \theta_{est} & Temperatura \ dell'ambiente \ esterno \\ P_{int} & Pressione \ dell'ambiente \ interno \\ P_{est} & Pressione \ dell'ambiante \ esterno \\ \end{array}$ 

 $\theta_{acc}$  Temperatura minima accettabile sulla superficie interna  $P_{acc}$  Pressione minima accettabile sulla superficie interna

f<sub>RSI</sub> Fattore di temperatura superficiale

### RISULTATI VERIFICA DELLA CONDENSA INTERSTIZIALE

Mese	θ <sub>int</sub> [°C]	θest [°C]	φint [%]	Феst [%]	g <sub>c</sub> [g/m²]	Ma [g/m²]	Periodi	Stato
ottobre	20,0	12,3	66	82	0,0	0	1	Asciutto
novembre	20,0	6,8	64	93	0,0	0	1	Asciutto
dicembre	20,0	2,6	<b>59</b>	88	0,0	0	1	Asciutto
gennaio	20,0	1,2	<i>57</i>	83	0,0	0	1	Asciutto
febbraio	20,0	3,1	<b>56</b>	81	0,0	0	1	Asciutto
marzo	20,0	8,3	60	81	0,0	0	1	Asciutto
aprile	20,0	11,9	<b>56</b>	<i>67</i>	0,0	0	1	Asciutto
maggio	18,0	18,0	74	65	0,0	0	1	Asciutto
giugno	22,1	22,1	64	61	0,0	0	1	Asciutto
luglio	23,6	23,6	<i>5</i> 8	54	0,0	0	1	Asciutto
agosto	22,6	22,6	<i>7</i> 6	73	0,0	0	1	Asciutto
settembre	19,1	19,1	81	<i>75</i>	0,0	0	1	Asciutto

### Legenda simboli

 $\begin{array}{ll} \theta_{int} & Temperatura \ dell'ambiente \ interno \\ \theta_{est} & Temperatura \ dell'ambiente \ esterno \\ \phi_{int} & Umidità \ relativa \ dell'ambiente \ interno \\ \phi_{est} & Umidità \ relativa \ dell'ambiente \ esterno \\ g_c & Flusso \ di \ vapore \ condensato \\ M_a & Quantità \ di \ condensa \ accumulata \end{array}$ 

Periodi Periodi del mese

### Distribuzione delle temperature e delle pressioni nella struttura

<u>Descrizione della struttura</u>: <u>COPERTURA ESTERNA</u>
Codice: <u>S1</u>

#### **DISTRIBUZIONE DELLA TEMPERATURA NELLA STRUTTURA** [°C]

Strato	Ott	Nov	Dic	Gen	Feb	Mar	Apr	Mag	Giu	Lug	Ago	Set
Amb.	20,0	20,0	20,0	20,0	20,0	20,0	20,0	18,0	22,1	23,6	22,6	19,1
Int.	19,6	19,4	19,2	19,1	19,2	19,5	19,6	18,0	22,1	23,6	22,6	19,1
2	19,6	19,3	19,1	19,0	19,1	19,4	19,6	18,0	22,1	23,6	22,6	19,1
1	12,4	6,9	2,7	1,3	3,2	8,4	12,0	18,0	22,1	23,6	22,6	19,1
Est.	12,3	6,8	2,6	1,2	3,1	8,3	11,9	18,0	22,1	23,6	22,6	19,1

Valori sul lato esterno dello strato; Amb.=ambiente interno; Int.=a valle dello strato liminare interno; Est.=ambiente esterno

### DISTRIBUZIONE DELLA PRESSIONE PARZIALE DEL VAPORE NELLA STRUTTURA [Pa]

Strato	Ott	Nov	Dic	Gen	Feb	Mar	Apr	Mag	Giu	Lug	Ago	Set
Amb.	1548	1489	1368	1323	1315	1399	1317	1520	1709	1677	2094	1783
Int.	1548	1489	1368	1323	1315	1399	1317	1520	1709	1677	2094	1783
2	1189	943	<i>67</i> 9	586	643	904	945	1356	1613	1581	1998	1657
1	1174	920	651	555	615	884	930	1349	1609	1577	1994	1652
Est.	1174	920	651	555	615	884	930	1349	1609	1577	1994	1652

Valori sul lato esterno dello strato; Amb.=ambiente interno; Int.=a valle dello strato liminare interno; Est.=ambiente esterno

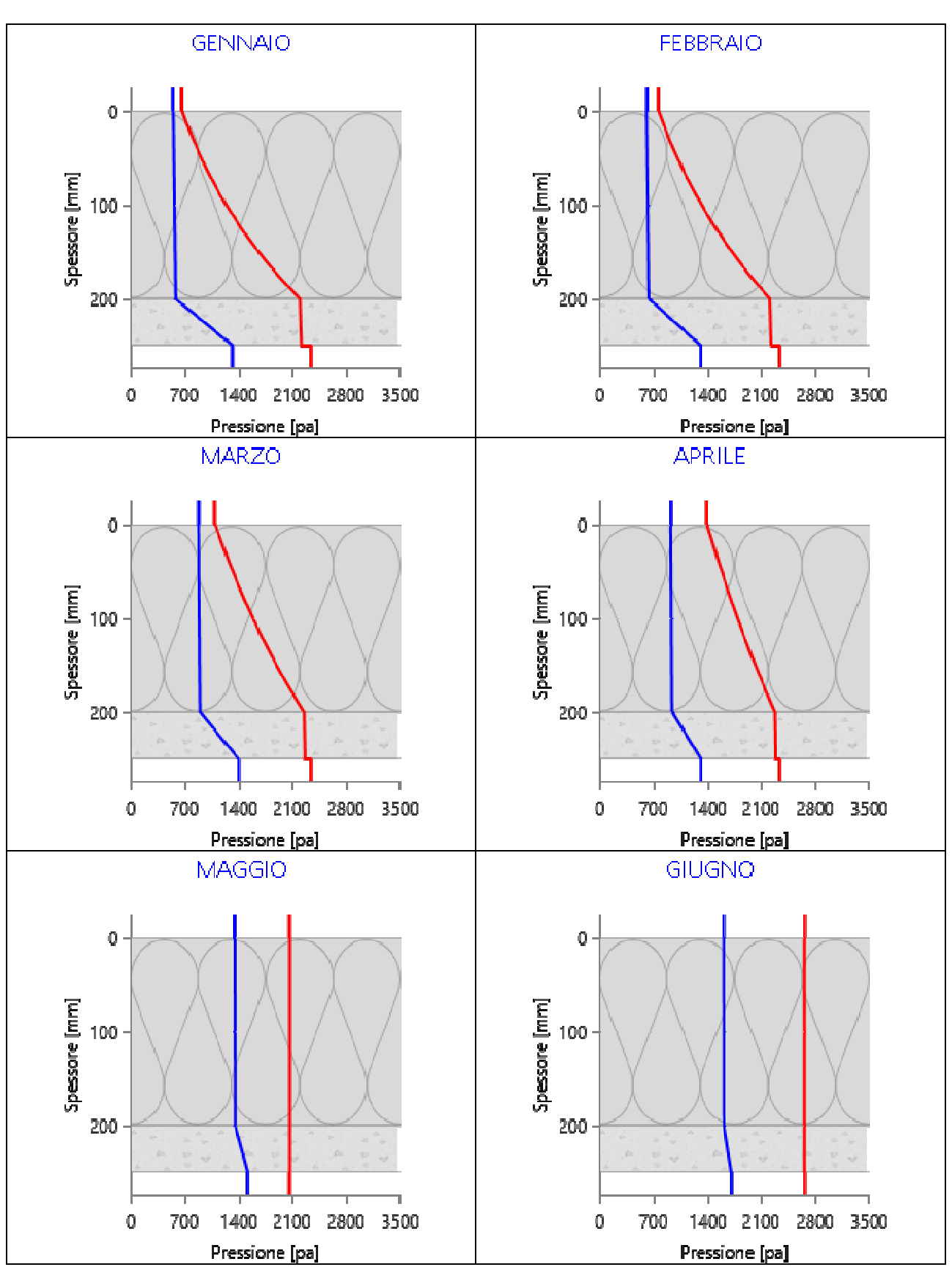
### **DISTRIBUZIONE DELLA PRESSIONE DI SATURAZIONE NELLA STRUTTURA** [Pa]

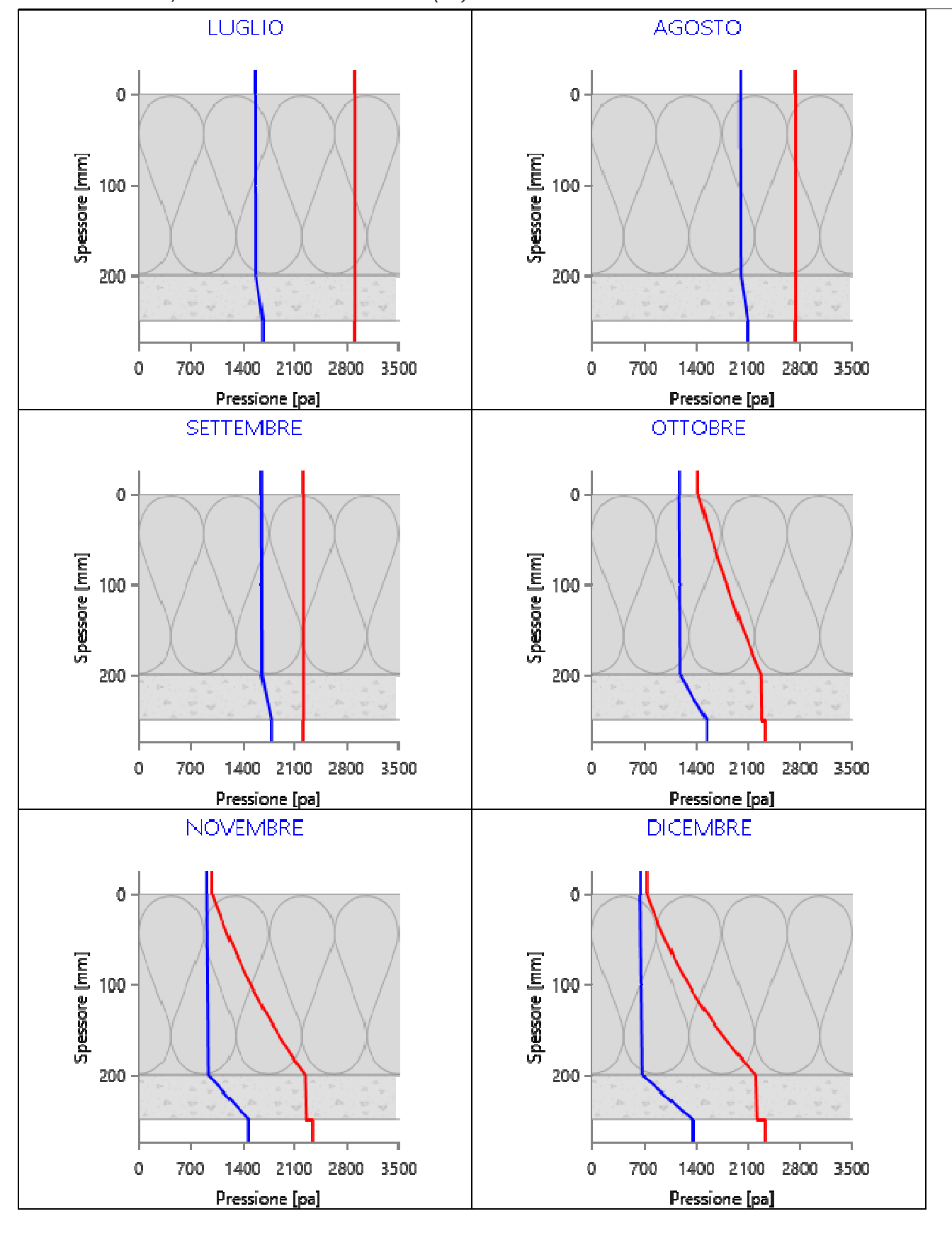
Strato	Ott	Nov	Dic	Gen	Feb	Mar	Apr	Mag	Giu	Lug	Ago	Set
Amb.	2337	2337	2337	2337	2337	2337	2337	2063	2659	2911	2741	2210
Int.	2285	2249	2221	2212	2225	2259	2283	2063	2659	2911	2741	2210
2	2277	2235	2204	2193	2207	2247	2274	2063	2659	2911	2741	2210
1	1435	994	743	673	770	1101	1398	2063	2659	2911	2741	2210
Est.	1430	988	736	666	763	1094	1393	2063	2659	2911	2741	2210

Valori sul lato esterno dello strato; Amb.=ambiente interno; Int.=a valle dello strato liminare interno; Est.=ambiente esterno

### Grafici mensili delle pressioni parziali e di saturazione del vapore

<u>Descrizione della struttura</u>: <u>COPERTURA ESTERNA</u>
Codice: <u>S1</u>





### Grafici mensili delle temperature [°C]

<u>Descrizione della struttura</u>: <u>COPERTURA ESTERNA</u>
Codice: <u>S1</u>

